

О молекулярных механизмах воздействия пептидов стандартизированного гидролизата плаценты на функционирование митохондрий

И.Ю. Торшин¹, О.А. Громова^{✉1}, О.В. Тихонова², А.Г. Чучалин³

¹ФИЦ «Информатика и управление» Российской академии наук, Москва, Россия;

²ФГБНУ «Научно-исследовательский институт биомедицинской химии им. В.Н. Ореховича», Москва, Россия;

³ФГАОУ ВО «Российский национальный исследовательский медицинский университет им. Н.И. Пирогова» Минздрава России, Москва, Россия

Аннотация

Актуальность. Гидролизаты плаценты человека (ГПЧ), начало изучения которых было положено научной школой В.П. Филатова, в настоящее время исследуются посредством современных протеомных технологий. ГПЧ представляют собой перспективное средство для поддержания функции митохондрий и регенерации тканей и органов с высоким содержанием митохондрий (печени, сердечной мышцы, скелетной мускулатуры и др.). Молекулярные механизмы действия ГПЧ практически не изучены.

Цель. Идентификация в составе ГПЧ (Лаэнек, Japan Bioproducts) пептидов, поддерживающих функционирование митохондрий.

Материалы и методы. Данные об химической структуре пептидов собирали посредством масс-спектрометрического эксперимента. Затем для установления аминокислотных последовательностей пептидов применены алгоритмы *de novo* секвенирования пептидов, основанные на математической теории топологического и метрического анализа хемографов. Биоинформационный анализ пептидного состава ГПЧ осуществлен посредством интегрального метода аннотации белков.

Результаты. Идентифицированы и описаны биологические функции 41 пептида в составе ГПЧ. Среди таргетных белков, активность которых регулируется выявленными пептидами и существенно влияет на функцию митохондрий, представлены каспазы (CASP1, CASP3, CASP4) и другие белки регуляции апоптоза (BCL2, CANPL1, PPARA), митоген-активируемые протеинкиназы (MAPK1, MAPK3, MAPK4, MAPK8, MAPK9, MAPK10, MAPK14), киназы каскада AKT1/GSK3B/MTOR и ряд других таргетных белков (рецептор ADGRG6, ингибитор киназы IKKE ядерного фактора каппа-би (NF-кБ), пируваталегирагеназы 2/3/4, НАД-зависимая деацетилаза сиртуин SIRT1, киназа ULK1).

Заключение. Установлены пептиды ГПЧ, способствующие торможению формирования митохондриальной поры, апоптоза и избыточной аутофагии митохондрий в условиях оксидативного/токсического стресса, хронического воспаления и/или гиперинсулинемии.

Ключевые слова: митохондриальная недостаточность, гидролизат плаценты человека, Лаэнек, коморбидные состояния, биоинформатика, топологический анализ данных

Для цитирования: Торшин И.Ю., Громова О.А., Тихонова О.В., Чучалин А.Г. О молекулярных механизмах воздействия пептидов стандартизированного гидролизата плаценты на функционирование митохондрий. Терапевтический архив. 2023;95(12): . DOI: 10.26442/00403660.2023.12.202494

© ООО «КОНСИЛИУМ МЕДИКУМ», 2023 г.

Введение

Практика «тканевой терапии», осуществляемая в течение многих лет научной школой В.П. Филатова, привела к формированию учения о «биогенных стимуляторах» – действующих начал тканевых экстрактов [1]. Несмотря на обширный клинический опыт тканевой терапии в России и за рубежом, химическая природа биогенных стимуляторов в составе гидролизатов плаценты человека (ГПЧ) и молекулярные механизмы их действия долгое время оставались недостаточно изученными. Современные подходы к исследованию тканевых экстрактов (прежде всего протеомные) позволяют детально внести искомую ясность в учение о биогенных стимуляторах, входящих в состав ГПЧ [2].

ГПЧ содержат мультитаргетные молекулы-модуляторы биологических процессов в организме человека – низко-

молекулярные пептиды, микроэлементы, витамины, стероиды и др. Фундаментальные исследования пептидного, микроэлементного, витаминного состава ГПЧ позволили охарактеризовать степень фармацевтической стандартизации ГПЧ и одновременно сформулировать механизмы фармакологического действия ГПЧ (гепатопротекторного, противовоспалительного, иммуномодулирующего, противовирусного и др.) на молекулярном уровне [2].

Одним из интересных эффектов ГПЧ является их воздействие на функции митохондрий – внутриклеточных органелл, осуществляющие выработку 90% молекул аденоzinтрифосфата посредством цикла Кребса и окислительного фосфорилирования. Нарушения синтеза аденоzinтрифосфата определяет развитие различных заболеваний. Чаще всего метаболизм митохондрий нарушается вследствие следующих

Информация об авторах / Information about the authors

Громова Ольга Алексеевна – д-р мед. наук, проф., науч. рук. Института фармакоинформатики ФИЦ ИУ РАН. E-mail: unesco.gromova@gmail.com; ORCID: 0000-0002-7663-710X; SCOPUS ID: 7003589812

Торшин Иван Юрьевич – канд. физ.-мат. наук, канд. хим. наук, с. науч. сотр. Института фармакоинформатики ФИЦ ФИЦ ИУ РАН. ORCID: 0000-0002-2659-7998

Тихонова Ольга Валентиновна – канд. биол. наук, рук. Центра Коллективного пользования «Протеом человека» ФГБНУ «НИИБМХ им. В.Н. Ореховича». ORCID: 0000-0002-2810-566X

Чучалин Александр Григорьевич – акад. РАН, д-р мед. наук, проф., зав. каф. госпитальной терапии педиатрического фак-та, председатель правления Российского респираторного общества. ORCID: 0000-0002-6808-5528

✉ Olga A. Gromova. E-mail: unesco.gromova@gmail.com; ORCID: 0000-0002-7663-710X; SCOPUS ID: 7003589812

Ivan Yu. Torshin. ORCID: 0000-0002-2659-7998

Olga V. Tikhonova. ORCID: 0000-0002-2810-566X

Alexander G. Chuchalin. ORCID: 0000-0002-6808-5528

Molecular mechanisms of the effect of standardized placental hydrolysate peptides on mitochondria functioning

Ivan Yu. Torshin¹, Olga A. Gromova^{✉1}, Olga V. Tikhonova², Alexander G. Chuchalin³

¹Computer Science and Control, Moscow, Russia;

²Orekhovich Research Institute of Biomedical Chemistry, Moscow, Russia;

³Pirogov Russian National Research Medical University, Moscow, Russia

Abstract

Background. Human placenta hydrolysates (HPH), the study of which was initiated by the scientific school of Vladimir P. Filatov, are currently being investigated using modern proteomic technologies. HSP is a promising tool for maintaining the function of mitochondria and regenerating tissues and organs with a high content of mitochondria (liver, heart muscle, skeletal muscles, etc.). The molecular mechanisms of action of HSP are practically not studied.

Aim. Identification of mitochondrial support mitochondrial function-supporting peptides in HSP (Laennec, produced by Japan Bioproducts).

Materials and methods. Data on the chemical structure of the peptides were collected through a mass spectrometric experiment. Then, to establish the amino acid sequences of the peptides, *de novo* peptide sequencing algorithms based on the mathematical theory of topological and metric analysis of chemographs were applied. Bioinformatic analysis of the peptide composition of HSP was carried out using the integral protein annotation method.

Results. The biological functions of 41 peptides in the composition of HLP have been identified and described. Among the target proteins, the activity of which is regulated by the identified peptides and significantly affects the function of mitochondria, are caspases (CASP1, CASP3, CASP4) and other proteins regulating apoptosis (BCL2, CANPL1, PPARA), MAP kinases (MAPK1, MAPK3, MAPK4, MAPK8, MAPK9, MAPK10, MAPK14), AKT1/GSK3B/MTOR cascade kinases, and a number of other target proteins (ADGRG6 receptor, inhibitor of NF-κB kinase IKKE, pyruvate dehydrogenase 2/3/4, SIRT1 sirtuin deacetylase, ULK1 kinase).

Conclusion. HLP peptides have been identified that promote inhibition of mitochondrial pore formation, apoptosis, and excessive mitochondrial autophagy under conditions of oxidative/toxic stress, chronic inflammation, and/or hyperinsulinemia.

Keywords: mitochondrial deficiency, human placenta hydrolyzate, Laennec, comorbid conditions, bioinformatics, topological data analysis

For citation: Torshin IYu, Gromova OA, Tikhonova OV, Chuchalin AG. On the molecular mechanisms of the effect of peptides of the standardized placental hydrolyzate on the functioning of mitochondria. Терапевтический Архив (Ter. Arkh.). 2023;95(11): . DOI: 10.26442/00403660.2023.12.202494

факторов: 1) нутриентных дефицитов (витаминов В₁, В₂, РР, В₅, В₆, липоевой кислоты, кофермента Q10, микроэлементов железа, магния, марганца, цинка и др.); 2) окислительного повреждения активными формами кислорода (супероксидом, перекисью водорода и др.) при недостаточной активности антиоксидантных ферментов супероксиддисмутаз Mn, Cu/Zn, глутатионпероксидазы, пероксидредоксина III [3]; 3) повышенных уровней медиаторов воспаления (фактора некроза опухоли α - ФНО-α и др.); 4) гипергликемии. В результате формируется весьма широкий круг патологий (табл. 1).

Дифференциальная диагностика наличия митохондриального компонента в патофизиологии заболеваний (см. табл. 1) осуществляется посредством анализа содержания органических кислот в моче и по оценке антиоксидантного статуса крови. Крупномасштабные клинические исследования и метаанализы подтвердили, что митохондриальная дисфункция (МД) ассоциирована не только с мышечной астенией, но со смертностью от острого респираторного дистресс-синдрома [4], патофизиологией нейропсихических и когнитивных нарушений центральной нервной системы [5], в том числе расстройств аутистического спектра [6], биполярного расстройства [7], болезни Альцгеймера [8] и др. Вследствие антиоксидантного, противовоспалительного, антиастенического и регенераторного действий перспективно исследовать свойства ГПЧ в терапии МД.

Целью настоящего исследования являлось нахождение в составе ГПЧ пептидов, поддерживающих функционирование митохондрий.

Материалы и методы

Методы протеомного анализа пептидных препаратов описаны в работах [10, 11]. Вкратце анализ пептидного состава ГПЧ Лаеннек включил 4 этапа: 1) очистка препарата; 2) хроматографическое разделение пептидов; 3) определение

ние многомерного масс-спектра пептидной фракции; 4) секвенирование *de novo* выделенных пептидов.

Очистка препарата состояла в отделении липидной фракции и обессоливания. Пептиды в составе выделенной пептидной фракции разделялись с использованием параллельной системы хроматографического разделения пептидов UltiMate™ 3000 RSLC nano-system (Thermo Fisher Scientific Dionex) и хроматографической колонки-ловушки Acclaim™ PepMap™ (Thermo Scientific, Германия). Масс-спектрометрический анализ осуществлялся с использованием масс-спектрометра Q-Exactive (Thermo Fisher Scientific).

Для получения более подробной информации об аминокислотных последовательностях пептидов нами разработан комплекс программ DNVSEQP для проведения секвенирования *de novo* пептидов аминокислотных последовательностей на основании масс-спектрометрических данных. Данные программы основаны на применении математических теорий метрического анализа [12], топологического [13], комбинаторного [14] анализа данных, классификации значений признаков [15], теории анализа хемографов [16] к задачам идентификации аминокислотных последовательностей и химических молекул. Биоинформационный анализ пептидного состава ГПЧ (включая информацию о сайтах фосфорилирования, протеолиза и др.) осуществлялся посредством ранее описанного и многократно апробированного метода интегральной аннотации белков [17].

Результаты

Для 12 образцов ГПЧ Лаеннека проведено 20 протеомных экспериментов, в результате которых найдено 95 290 откликов в координатах «молекулярная масса – хроматографическое время удержания». При проведении *de novo* секвенирования идентифицированы последовательности 293 452 возможных пептидов, а 55 434 из 293 452 последова-

Таблица 1. Признаки, симптомы и болезни, ассоциированные с МД**Table 1. Signs, symptoms and diseases associated with mitochondrial dysfunction**

Система органов	Симптоматика/патология
Мышцы	Гипотония, астения, судороги, мышечная боль, птоз, офтальмоплегия
Сердце	Нарушения проводимости сердца, кардиомиопатия
Головной мозг	Задержка развития, умственная отсталость, аутизм, атипичный церебральный паралич, атипичные мигрени, инсульт
Периферическая нервная система	Нейропатия, астения, гастроинтестинальный рефлюкс, запор, псевдонепроходимость кишечника, нарушения терморегуляции, респираторные проблемы
Органы зрения	Оптическая нейропатия, пигментный ретинит
Органы слуха	Нейросенсорная потеря слуха
Почки	Дисфункция проксимальных почечных канальцев, потери белка, магния, фосфора, кальция и других электролитов
Печень	Гипогликемия, нарушение глюконеогенеза, неалкогольные повреждение печени
Поджелудочная железа	Экзокринная недостаточность поджелудочной железы, инсулин-резистентность

Таблица 2. Пептидные фрагменты, найденные в составе Лаеннека посредством секвенирования *de novo*, которые могут влиять на функционирование митохондрий в разных типах клеток***Table 2. Peptide fragments found in the Laennec formulation using *de novo* sequencing that may affect mitochondria functioning in various cell types***

Встречае- мость, %**	Пептид Лаеннека	Фрагмент белка протеома	Ген	Белок протеома	Функция пептида
14	GVLMDL	GVLMDL	ADGRG6	Адгезионный G-белковый рецептор G6	ADGRG6
14	VGDELD	IGDELD	BAX	Регулятор апоптоза BAX	Bcl-2
14	RFLEQLG	RFLAQLG	BP1	Белок BP	Bcl-2
14	LAHFGEK	LAHLGEK	BCL2L13	Bcl-2-подобный белок 13	Bcl-2, CASP3
33	EVYG	EVYG	SPTAN1	Спектрин α 1	CANPL1
39	FLTD	FLTD	GSDMD	Гасдермин-Д	CASP1/4
39	PPYA	PPYA	MARK2	Протеинкиназа MARK2	GSK3 β
100	RGLGPG	RGLGPG	SFPQ	Пролин-глутаминовый фактор сплайсинга	GSK3 β
44	YLDS	YLDS	CTNNB1	Катенин β 1	GSK3 β
39	ASANF	ASANF	CEACAM8	Молекула адгезии клеток-8	GSK3 β
22	LPSGLL	LPSGLL	CCNE1	G1/S-специфический циклин-E1	GSK3 β
22	PAGEPGL	PPGEPGL	BCAM	Молекула адгезии базальных клеток	GSK3 β
17	LNVLYFG	LNVLYG	CEACAM8	Молекула адгезии клеток-8	GSK3 β
44	TGYV	TGYV	MAPK14	Митоген-активируемая протеинкиназа 14	MAP2K3, 2K4/2K6
39	FVTD	FVTD	NR2C1	Внутриядерный рецептор 2C1	MAPK1
39	TPLF	TPLF	RSPH3	Белок RSPH3	MAPK1

тельностей пептидов идентифицированы для более чем одного образца ГПЧ. В результате биоинформационного анализа 55 434 пептидов выявлен 41 пептид протяженностью 4–8 аминокислот. Каждый из этих пептидов вносит определенный вклад в поддержку функции митохондрий (табл. 2).

Митохондриально-протекторные свойства большинства пептидных фрагментов изученного ГПЧ обусловлен торможением апоптоза – программируемой гибели клеток, которая обязательно включает в себя деструкцию митохондрий посредством «митохондриальных пор» (белковых комплексов мембранны митохондрий, нарушающих ее целостность). В состав митохондриальных пор входят белки TSPO (периферическийベンゾдиазепиновыйрецептор), циклофилин-D и др. [18, 19]. Ингибирование процессов, приводящих к формированию пор митохондрий, существенно снижает апоптоз [20]. В табл. 3 суммирована информация о 23 таргетных белках, с которыми взаимодействуют пептидные фрагменты, перечисленные в табл. 2: каспазах, MAPK, киназах актактака AKT1/GSK3B/MTOR и др.

Далее рассмотрена регуляция пептидами ГПЧ Лаеннек активности каспаз и других белков-эффекторов апоптоза, MAPK, AKT1-киназы и связанных с ней киназ mTOR и GSK3B, а также других таргетных белков, активность которых влияет на функционирование митохондрий.

Ингибирование пептидами Лаеннека каспаз и других белков-эффекторов апоптоза

Цистеиновые протеазы с общим названием «каспазы» составляют центральный механизм реализации апоптоза. Активация каспазы-1 стимулирует развитие МД [21], а каспаза-4 активирует пироптоз (программируемая некротическая гибель клеток) и формирование митохондриальной поры [22]. Каспаза-8 расщепляет и активирует каспазы 3/4/6/7/9/10 [23], индуцируя митохондриальный апоптоз

Таблица 2. Пептидные фрагменты, найденные в составе Лаеннека посредством секвенирования *de novo*, которые могут влиять на функционирование митохондрий в разных типах клеток* (Окончание)

Table 2. Peptide fragments found in the Laennec formulation using *de novo* sequencing that may affect mitochondria functioning in various cell types* (End)

33	VDGLGT	VDGLST	ELK1	Белок, содержащий домен ETS	MAPK1
28	LCQF	LCQF	DUSP16	Протеинфосфатаза-16 двойной специфичности	MAPK1
11	TEYV	TEYV	MAPK1	Митоген-активируемая протеинкиназа 1	MAPK1, MAP2K2
43	LLGPFS	LLSPFS	GRB10	Белок-10 рецептора фактора роста	MAPK1/3
14	LGPLNLP	LGPLSP	MYOCD	Миокардин	MAPK1/3
78	GPLYPT	GPFYPT	MCTS1	Белок MCTS1	MAPK1/3
56	PGPLNP	PGPLSP	MYOCD	Миокардин	MAPK1/3
14	PAGLPQ	PAALPQ	RPS6KA5	Киназа α-5 рибосомального белка S6	MAPK1/3/14
61	PAPALPQ	PA-ALPQ	RPS6KA5	Рибосомная протеинкиназа S6 α-5	MAPK1/3/14
39	NPLM	NPLM	RPS6KA5	Рибосомная протеинкиназа S6 α-5	MAPK1/3/14
11	DAGVTP	DAAVTP	APP	Белок β-амилоида A4	MAPK10
33	FVPPVV	FTPPVV	SMAD2	Сигнальный белок SMAD2	MAPK3
57	AASGPAG	AASSPAG	SIRT1	НАД-зависимая деацетилаза сиртуин-1	MAPK8
44	FGLGAP	FGLGSP	NFATC4	Ядерный фактор-4 активированных Т-клеток	MAPK8/9
22	PGGALF	PGGTLF	EIF4EBP1	Фактор инициации трансляции EIF4EBP1	MTOR
33	FPQF	FPQF	AKT1	RACα протеинкиназа	MTOR, IKKE
14	PGVSCR	PGVSYR	PDHA1	Субъединица Е1α пируватдегидрогеназы	PDK1/3/4/4
43	SENALVA	SENSLVA	GRB10	Белок-10 рецептора фактора роста	PKB/AKT1
71	FAQPGL	FSQPGL	TBC1D1	Белок TBC1D1	PKB/AKT1
43	SFPQPG	SFSQPG	TBC1D1	Белок TBC1D1	PKB/AKT1
33	GAGGGFG	GTGGFG	CHUK	Ингибитор α-киназы NF-κB	PKB/AKT1
29	GLPTLL	GLPNLL	CHD9	ДНК-геликаза-связывающий белок 9	PPARA
57	EDLGPLL	ESLGPLL	NCOA1	Коактиватор ядерных рецепторов 1	PPARA
14	PTTEAQG	PTQEAQG	CCAR2	Белок-регулятор-2 клеточного цикла и апоптоза	SIRT1
14	LLVPGDF	LLVPSDF	CCAR2	Белок-регулятор-2 клеточного цикла и апоптоза	SIRT1
100	LLKDLL	LLKELL	FOXO1	Транскрипционный регулятор FOXO1	SIRT1
39	PGLLDEL	PGLLKEL	FOXO1	Транскрипционный регулятор FOXO1	SIRT1
22	HHLLRP	HHLTRP	PRKAA1	5'-AMP-активируемая протеинкиназа α-1	ULK1

*Приведены аминокислотные последовательности пептидов, закодированные в стандартном 20-буквенном формате.

**Встречаемость пептида в исследованных образцах Лаеннека (процент протеомных экспериментов, в которых был найден соответствующий пептид). Пептиды упорядочены в соответствии с аббревиатурами генов таргетных белков (расшифровка этих аббревиатур – в табл. 3).

при посредстве MAPK 8/9/10 [24]. Каспаза-3 активируется каспазами 8/9/10, после чего расщепляет и активирует другие каспазы. Каспаза-9 играет существенную роль в деполяризации митохондриальной мембрany [25] и вызывает разрушение митохондрий посредством расщепления антиапоптотических белков BCL-2 [26].

В составе ГПЧ Лаеннек найдены 2 пептида, которые могут ингибировать каспазы 1, 3, 4 – гептапептид LAHFGEK и тетрапептид ГПЧ FLTD (рис. 1, а). Пептид ГПЧ FLTD соответствует пептиду FLTD 272–275 белка гасдермина-Д, который находится на левой границе сайта 275–276, расщепляемого провоспалительными каспазами CASP1 и CASP4 и может ингибировать пироптоз, индуцированный бактери-

альными липополисахаридами. В ГПЧ найдены 3 пептида VGDELD, LAHFGEK, RFLEQLG, являющихся фрагментами мотива «ВНЗ», который может подавлять каспазы через взаимодействия с белком-регулятором апоптоза Bcl-2 [27].

В составе ГПЧ найден пептид, ингибирующий кальпанин-1 (μ-кальпанин, ген CANPL1, см. рис. 1, б) – тиолпротеазу, что катализирует протеолиз субстратов передачи апоптотических сигналов, который открывает митохондриальные поры при ишемии-реперфузии [28, 29]. Пептид EVYG, соответствующий пептиду EVYG 1174–1177 белка SPTAN1, содержит сайт 1176–1177, специфически расщепляемый μ-кальпанином, так что данный пептид – ингибитор μ-кальпанина.

Таблица 3. Таргетные белки, которые могут регулироваться пептидными фрагментами в составе Лаеннека и влиять на функцию митохондрий*

Table 3. Target proteins that can be regulated by peptide fragments in Laennec and affect mitochondrial function*

Ген	Таргетный белок	Функция белка
ADGRG6	Адгезионный G-белковый рецептор G6	Активация митохондрий
AKT1	Протеинкиназа B (PKB, Akt, RAC-PKα)	Регулирует метаболизм, деление и выживание клеток
BCL2	Белок Bcl-2	Антиапоптотический белок
CANPL1	Кальпанин-1 (μ -кальпанин)	Протеолиз субстратов, передающих сигналы апоптоза
CASP1	Каспаза-1 (β -конвертаза интерлейкина-1 – ИЛ-1)	Расщепляет ИЛ-1 β , способствует апоптозу
CASP3	Каспаза-3	Инициация апоптоза
CASP4	Каспаза-4	Активация CASP1, пироптоз, апоптоз, вызванный стрессом
GSK3B	Киназа гликогенсинтазы-3 β (GSK-3 β)	Гомеостаз глюкозы, передача сигналов Wnt, ответ на ФНО- α
IKKE	Ингибитор NF-κB киназы эпсилон	Передача сигналов от ФНО- α , ИЛ-1 β и других провоспалительных цитокинов
MAPK1/3	Митоген-активируемая протеинкиназа 1 ERK-1/2	Регулируют транскрипцию, трансляцию и перестройку цитоскелета
MAPK4	Митоген-активируемая киназа-4	Компонент сигнального пути SAP/JNK, активируемого стрессом
MAPK 8/9/10	Митоген-активируемая протеинкиназа SAPK JNK1/2/3	Фосфорилируют факторы транскрипции типа «AP-1» (JUN, JDP2, ATF2), способствуют апоптозу, сигнальный путь от провоспалительных рецепторов
MAPK14	Митоген-активируемая протеинкиназа 14 (CSBP, SAPK2a, p38-MAPK)	Проапоптотический и провоспалительный белок, активируется в ответ на клеточный стресс
MTOR	Протеинкиназа mTOR (белок-1 рапамицина)	Фосфорилирует не менее 800 белков, регулирует аутофагию
PDK2/3/4	Киназа-2/3/4 пируватдегидрогеназы, митохондриальная	Регуляция метаболизма глюкозы и жирных кислот посредством ингибирования пируватдегидрогеназы
PPARA	Рецептор молекул-пролифераторов пероксисом	Увеличение числа пероксисом и активности митохондрий
SIRT1	НАД-зависимая деацетилаза сиртуин-1	Ацетилирование белков, координация деления и метаболизма клетки, ответа на повреждение ДНК
ULK1	Протеинкиназа ULK1 (ATG1)	Аутофагическая деградация митохондрий

*Строки таблицы упорядочены в соответствии с аббревиатурами генов.

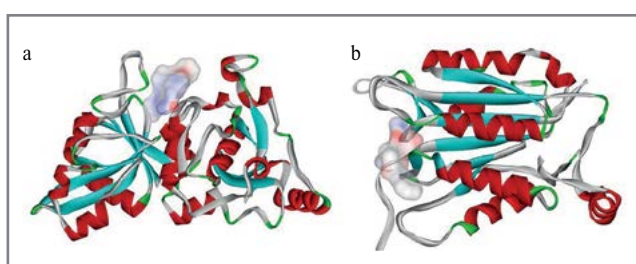


Рис. 1. Структуры каспаз и кальпайна. Показаны поверхности связывания в активном сайте киназ, с которыми взаимодействуют пептиды Лаеннека: *a* – пространственная структура каспаз (на примере CASP1, PDB файл 1bmq); *b* – пространственная структура μ -кальпайна, PDB файл 4ZCM.

Fig. 1. Structures of caspases and calpain. The binding surfaces in the active site of kinases with which Laennec peptides interact are shown: *a* – spatial structure of caspases (e.g., CASP1, PDB file 1bmq); *b* – spatial structure of μ -calpain, PDB file 4ZCM.

Пептиды Лаеннека GLPTLL и EDLGPLL могут усиливать антиапоптотические эффекты пептидов-ингибиторов каспаз через активацию PPAR-белков, стимулирующих рост внутриклеточной популяции пероксисом – органелл, концентрирующих окислительно-восстановительные ферменты (уратоксидазы, каталазы, ферментов расщепления жирных кислот) и необходимых для метаболизма жиров, углеводов, желчных кислот, миелинизации нервов [30, 31]. Усиление активности PPAR-белков соответствует поддержке функции митохондрий: активация PPAR α улучшает активность «дыхательного комплекса I» митохондрий [32], повышение уровней PPAR γ защищает потенциал митохондриальной мембрany [33].

Ингибирование MAPK пептидами Лаеннека

Сигнальные пути MAPK контролируют транскрипцию генов, метаболизм, деление, подвижность, апоптоз/выживание клеток. Избыточная активация сигнальных путей MAPK инициирует воспаление [34] и стимулирует гибель митохондрий [35]. Именно поэтому ингибирование пептидами Лаеннека ряда киназ MAPK 1/3/8/9/10/14, 2K 2/3/4/6 будет способствовать поддержке выживания и ми-

тохондрий, и клеток. В составе ГПЧ установлено наличие 17 пептидов-ингибиторов MAPK (рис. 2, а).

Передача сигналов по каскаду ERK1/2, включающего киназы MAPK1/3, приводит к МД, а ингибиторы MAPK1/3 оказывают защитное действие на митохондрии [36, 37]. В составе ГПЧ найдено 9 пептидов-ингибиторов MAPK1/3 (табл. 2). Например, пептид LLGPFS, найденный в ГПЧ, соответствует пептидному фрагменту 416–421 LLSPFS белка GRB10. Данный пептид интересен тем, что он включает серин-418 (LLSPFS), специфически фосфорилируемый киназами MAPK1/3. Однако пептид Лаеннека LLGPFS не содержит серина в данной позиции и поэтому будет являться ингибитором киназ MAPK1/3.

Протеинкиназы MAPK8/9 индуцируют инфламмосому NLRP3 и апоптоз, а их ингибирование MAPK8 усиливает митохондриальную функцию и способствует лечению стеатогепатоза, в том числе при хроническом воспалении и окислительном стрессе [38]. В составе ГПЧ найдено 5 пептидов, которые являются потенциальными ингибиторами киназ MAPK8/9 (табл. 2), в том числе пептид AASGPAG, соответствующий фрагменту 24–30 AASSPAG белка SIRT1, в котором остаток серин-27 (AASSPAG) фосфорилируется посредством MAPK8. В пептиде AASGPAG в соответствующей серин-27 позиции представлен остаток глицина (AASGPAG), что делает данный пептид потенциальным ингибитором киназы MAPK8. Аналогичным образом пептид DAGVTP ингибирует MAPK10, а пептиды PAPALPQ и NPLM – MAPK14, что защищает митохондрии от апоптоза [39].

Ингибирование киназ каскада AKT1/GSK3/mTOR пептидами Лаеннека

Фосфорилируя проапоптотические белки BAD и Bax, Akt1-киназа (протеинкиназа B, PKB) стимулирует их активность [40]. Пептиды SENALVA, FAQPGL, SFPQPG и др. могут ингибировать протеинкиназу B (рис. 3, а). Например, пептид FAQPGL соответствует фрагменту 236–241 FSQPGL белка TBC1D1 (табл. 2). Из биохимических исследований известно, что остаток серин-235 (FSQPGL) этого белка фосфорилируется киназой PKB/AKT1. В то же время в FAQPGL остатки серина отсутствуют, поэтому пептид FAQPGL является ингибитором PKB (рис. 3, б).

PKB фосфорилирует GSK3 β (киназу гликогенсинтазы-3 β) – регулятор глюконеогенеза, апоптоза, каскада Wnt, NF- κ B-зависимого ответа на ФНО- α и митохондриального биогенеза [41]. В составе ГПЧ найдено 7 пептидов-ингибиторов киназы GSK3 β . В частности, пептид PPYA соответствует пептиду PPYA 213–216 белка MARK2, расположенного справа от серина-212, фосфорилируемого GSK3 β . В пептиде PPYA серин отсутствует, так что этот пептид будет ингибировать киназу GSK3 β . Аналогично действуют и пептиды YLDS, ASANF, LPSGLL, PAGEPGL, LNVLFG (табл. 2).

Ингибирование протеинкиназы mTOR, связанной с PKB и GSK3 β , улучшает функцию/биогенез митохондрий, способствуя устранению МД [42]. Пептид Лаеннека PGGALF – специфический ингибитор mTOR, так как вместо остатка серина/треонина содержит аланин в соответствующей позиции (PGGALF).

Пептиды Лаеннека, ингибирующие другие таргетные белки, влияющие на функции митохондрий

НАД-зависимая деацетилаза белков сиртуин-1 участвует в координации энергетического метаболизма клетки с процессами деления клетки, в формировании ответа клетки на повреждение ДНК, улучшает активность «дыхательного комплекса I» митохондрий [43] (рис. 4, а). Пептиды Лаеннека PTTEAQG (соответствует фрагменту 453–459

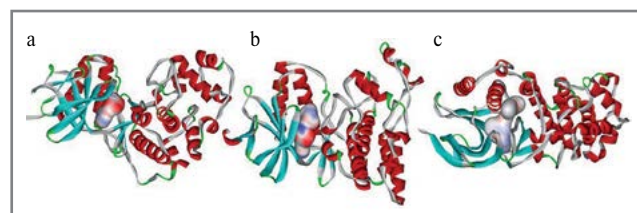


Рис. 2. Пространственная структура MAPK. Показана поверхность связывания лигандов в активном сайте киназы, с которым могут взаимодействовать пептиды Лаеннека: а – на примере MAPK3 (ERK1) и MAPK1 (ERK2), PDB файл 2ZOQ; б – MAPK8 (JNK1, PDB файл 2XS0); в – MAPK9 (JNK2, PDB файл 3NPC).

Fig. 2. MAPK spatial structure. The ligand binding surface in the active kinase site with which Laennec peptides can interact is shown: a – by the example of MAPK3 (ERK1) and MAPK1 (ERK2), PDB file 2ZOQ; b – MAPK8 (JNK1, PDB file 2XS0); c – MAPK9 (JNK2, PDB file 3NPC).

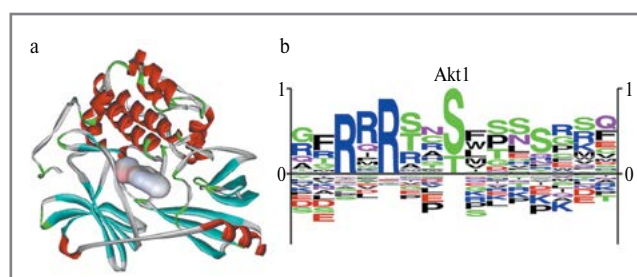


Рис. 3. PKB и ее субстраты: а – пространственная структура PKB (PDB файл 5KCV); б – паттерны субстратов аминокислотной последовательности, фосфорилируемые PKB.

Fig. 3. Protein kinase B (PKB) and its substrates: a – spatial structure of PKB (PDB file 5KCV); b – substrate patterns of the amino acid sequence phosphorylated by PKB.

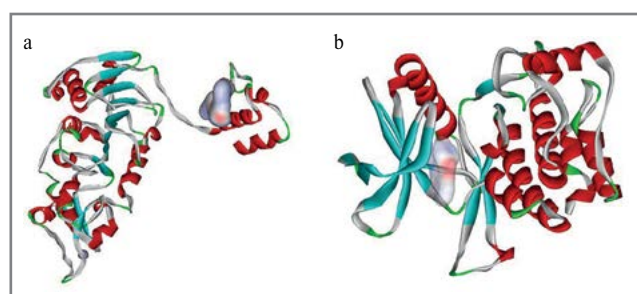


Рис. 4. SIRT1 и киназа ULK1: а – пространственная структура SIRT1 (PDB файл 4ZZH); б – пространственная структура киназы ULK1 (PDB файл 4WNO).

Fig. 4. SIRT1 and ULK1 kinase: a – spatial structure of SIRT1 (PDB file 4ZZH); b – spatial structure of ULK1 kinases (PDB file 4WNO).

PTQEAGQ белка CCAR2) и LLVPGDF (соответствует 250–256 LLVPSDF белка CCAR2) будут предотвращать взаимодействие сиртуина-1 с белком CCAR2, что соответствует поддержанию антиапоптотической и сохранению активности дыхательного комплекса митохондрий.

Белок IKKE (ингибитор NF- κ B киназы эпсилон) активирует передачу сигналов от ФНО- α , ИЛ-1 β и других провоспалительных цитокинов через каскад NF- κ B и аутофагию митохондрий [44]. Пептид Лаеннека FPQE, ингибируя

IKKE, способствует снижению воспаления и поддержке выживания митохондрий. Протеинкиназа ULK1 вызывает окислительную митофагию (автофагическую деградацию митохондрий) [45]. Пептид Лаенека HHLLRP соответствует пептиду HHLLRP 365–370 белка PRKAA1, который содержит треонин-368, фосфорилируемый киназой ULK1. В пептиде Лаенека треонин замещен на лейцин, поэтому этот пептид будет ингибировать ULK1 (см. рис. 4, б).

Заключение

В то время как наследственные болезни митохондрий (согласно Международной классификации болезней 10-го пересмотра) встречаются весьма редко, МД широко распространена. МД сопровождается не только астенические состояния, саркопении и миопатии, но и сердечно-сосудистые патологии (ишемическую болезнь сердца), ишемические и нейродегенеративные заболевания головного мозга, расстройства аутистического спектра, биполярное расстройство, острый респираторный дистресс-синдром, стеатогепатоз, метаболический синдром, сахарный диабет и др. Соответствующие патофизиологические процессы в митохондриях всех типов клеток связаны с ускоренным старением организма. Результаты анализа пептидного состава ГПЧ указали на более чем 40 пептидов ГПЧ, способствующих торможению митофагии и апоптоза клеток (особенно в условиях оксидативного и/или токсического

стресса, хронического воспаления и гиперинсулинемии). Описаны таргетные белки, активность которых существенно влияет на функцию митохондрий и которые могут регулироваться пептидами Лаенека.

Раскрытие интересов. Авторы декларируют отсутствие явных и потенциальных конфликтов интересов, связанных с публикацией настоящей статьи.

Disclosure of interest. The authors declare that they have no competing interests.

Вклад авторов. Авторы декларируют соответствие своего авторства международным критериям ICMJE. Все авторы в равной степени участвовали в подготовке публикации: разработка концепции статьи, получение и анализ фактических данных, написание и редактирование текста статьи, проверка и утверждение текста статьи.

Authors' contribution. The authors declare the compliance of their authorship according to the international ICMJE criteria. All authors made a substantial contribution to the conception of the work, acquisition, analysis, interpretation of data for the work, drafting and revising the work, final approval of the version to be published and agree to be accountable for all aspects of the work.

Источник финансирования. Работа выполнена по гранту Российской научного фонда (проект №23-21-00154).

Funding source. This work was supported by a grant from the Russian Science Foundation (project No23-21-00154).

Список сокращений

ГПЧ – гидролизаты плаценты человека
ИЛ – интерлейкин
МД – митохондриальная дисфункция
ФНО- α – фактор некроза опухоли α
ADGRG6 – адгезионный G-белковый рецептор G6
AKT1 – протеинкиназа B (PKB, Akt, RAC-PKa)
BCL2 – белок Bcl-2
CANPL1 – кальпаин-1 (μ -кальпаин)
CASP1 – каспаза-1 (β -конвертаза ИЛ-1)
CASP3 – каспаза-3
CASP4 – каспаза-4
GSK3 β – киназа гликогенсинтазы-3 β (GSK-3 β)
IKKE – ингибитор NF- κ B киназы эпиллон

MAPK – митоген-активируемые протеинкиназы
MAPK8/9/10 – митоген-активируемая протеинкиназа SAPK JNK1/2/3
MAPK1/3 – митоген-активируемая протеинкиназа 1 ERK-1/2
MAPK14 – митоген-активируемая протеинкиназа 14 (CSBP, SAPK2a, p38-MAPK)
MAPK4 – митоген-активируемая киназа-4
mTOR – протеинкиназа mTOR (белок-1 рапамицина)
NF- κ B – нуклеарный факторkapпа-би
PDK2/3/4 – киназа-2/3/4 пируватдегидрогеназы, митохондриальная
PPARA – рецептор молекул-пролифераторов пероксисом
SIRT1 – НАД-зависимая деацетилаза сиртуин-1
ULK1 – протеинкиназа ULK1 (ATG1)

ЛИТЕРАТУРА/REFERENCES

1. Максимов В.А., Громова О.А., Дуброва Е.А. Сборник авторефератов докторских и кандидатских диссертаций по проблеме тканевой терапии плаценты. М.: Модуль, 2022 [Maksimov VA, Gromova OA, Dubrova EA. Sbornik avtoreferatov doktorskikh i kandidatskikh dissertatsii po probleme tkanevoi terapii plasenty. Moscow: Modul', 2022 (in Russian)]. DOI:10.26442/00403660.2022.03.201408
2. Громова О.А., Торшин И.Ю., Чучалин А.Г., Максимов В.А. Гидролизаты плаценты человека: от В.П. Филатова до наших дней. *Терапевтический архив.* 2022;94(3):434-41 Gromova OA, Torshin IYu, Chuchalin AG, Maximov VA. Human placenta hydrolysates: from V.P. Filatov to the present day: Review. *Terapevticheskii Arkhiv (Ter. Arkh.).* 2022;94(3):434-441 (in Russian)]. DOI:10.26442/00403660.2022.03.201408
3. Северин Е.С., Алейникова Т.Л., Осипов Е.В., Силаева С.А. Биологическая химия. М.: Медицинское информационное агентство, 2008 [Severin ES, Aleinikova TL, Osipov EV, Silaeva SA. Biologicheskaja khimiia. Moscow: Meditsinskoe informacionnoe agentstvo, 2008 (in Russian)].
4. McClintock CR, Mulholland N, Krasnodembskaya AD. Biomarkers of mitochondrial dysfunction in acute respiratory distress syndrome: A systematic review and meta-analysis. *Front Med (Lausanne).* 2022;9:1011819. DOI:10.3389/fmed.2022.1011819
5. Торшин И.Ю., Громова О.А., Назаренко А.Г. Хондропротекторы как модуляторы нейровоспаления. *Неврология, нейропсихиатрия, психосоматика.* 2023;15(1):110-8 [Torshin IYu, Gromova OA, Nazarenko AG. Chondroprotectors as modulators of neuroinflammation. *Nevrologiya, neiropsikiatriya, psichosomatika* = *Neurology, Neuropsychiatry, Psychosomatics.* 2023;15(1):110-8 (in Russian)]. DOI:10.14412/2074-2711-2023-1-110-118
6. Rossignol DA, Frye RE. Mitochondrial dysfunction in autism spectrum disorders: a systematic review and meta-analysis. *Mol Psychiatry.* 2012;17(3):290-314. DOI:10.1038/mp.2010.136
7. Liang L, Chen J, Xiao L, et al. Mitochondrial modulators in the treatment of bipolar depression: A systematic review and meta-analysis. *Transl Psychiatry.* 2022;12(1):4. DOI:10.1038/s41398-021-01727-7
8. Song T, Song X, Zhu C, et al. Mitochondrial dysfunction, oxidative stress, neuroinflammation, and metabolic alterations in the progression of Alzheimer's disease: A meta-analysis of in vivo magnetic resonance spectroscopy studies. *Ageing Res Rev.* 2021;72:101503. DOI:10.1016/j.arr.2021.101503
9. Nelson DL, Cox MM. Lehninger Principles of Biochemistry. 7th ed. New York: W.H. Freeman, 2017.
10. Громова О.А., Торшин И.Ю., Максимов В.А., и др. Пептиды в составе препарата Лаенек, способствующие устранению гиперферритинемии и перегрузки железом. Фармакоэкономика. Современная фармакоэкономика и фармакоэпидемиология. 2020;13(4):413-25 [Gromova OA, Torshin IYu, Maksimov VA, et al. Peptides contained in the composition of Laennec that contribute to the treatment of hyperferritinemia and iron overload disorders. Farmakoeconomika. Sovremennaya farmakoeconomika i farmakoepidemiologiya = Farmakoeconomika. Modern Pharmacoeconomics

- and *Pharmacoepidemiology*. 2020;13(4):413-25 (in Russian)]. DOI:10.17749/2070-4909/farmakoekonomika.2020.070
11. Громова О.А., Торшин И.Ю., Тихонова О.В., Згода В.Г. Гепатопротекторные пептиды препарата Лаенек. *Экспериментальная и клиническая гастроэнтерология*. 2022;203(7):21-30 [Torshin IYu, Gromova OA, Tikhonova OV, Zgoda VG. Hepatoprotective peptides of the drug Laennec. *Experimental and Clinical Gastroenterology*. 2022;(7):21-30 (in Russian)]. DOI:10.31146/1682-8658-ecg-203-7-21-30]
 12. Torshin IYu, Rudakov KV. Combinatorial analysis of the solvability properties of the problems of recognition and completeness of algorithmic models. Part 2: metric approach within the framework of the theory of classification of feature values. *Pattern Recognit Image Anal.* 2017;27(2):184-99. DOI:10.1134/S1054661817020110
 13. Torshin IYu, Rudakov KV. On the application of the combinatorial theory of solvability to the analysis of chemographs. Part 1: Fundamentals of modern chemical bonding theory and the concept of the chemograph. *Pattern Recognit Image Anal.* 2014;24:11-23. DOI:10.1134/S1054661814010209
 14. Torshin IYu, Rudakov KV. On the procedures of generation of numerical features over partitions of sets of objects in the problem of predicting numerical target variables. *Pattern Recognit Image Anal.* 2019;29(4):654-67. DOI:10.1134/S1054661819040175
 15. Torshin IYu, Rudakov KV. Combinatorial analysis of the solvability properties of the problems of recognition and completeness of algorithmic models. Part 1: Factorization approach. *Pattern Recognit Image Anal.* 2017;27(1):16-28. DOI:10.1134/S1054661817010151
 16. Torshin IYu. Optimal dictionaries of the final information on the basis of the solvability criterion and their applications in bioinformatics. *Pattern Recognit Image Anal.* 2013;23(2):319-27. DOI:10.1134/S1054661813020156
 17. Torshin IYu. Sensing the change from molecular genetics to personalized medicine. New York: Nova Biomedical Books, 2009.
 18. Mirica SN, Duicu OM, Trancota SL, et al. Magnesium orotate elicits acute cardioprotection at reperfusion in isolated and *in vivo* rat hearts. *Can J Physiol Pharmacol.* 2013;91(2):108-15. DOI:10.1139/cjpp-2012-0216
 19. Sileikyte J, Petronilli V, Zulian A, Ricchelli F. Regulation of the inner membrane mitochondrial permeability transition by the outer membrane translocator protein (peripheral benzodiazepine receptor). *J Biol Chem.* 2011;286(2):1046-53. DOI:10.1074/jbc.M110.172486
 20. Zhang Y, Dong Y, Xu Z, Xie Z. Propofol and magnesium attenuate isoflurane-induced caspase-3 activation via inhibiting mitochondrial permeability transition pore. *Med Gas Res.* 2012;2(1):20. DOI:10.1186/2045-9912-2-20
 21. Jorquera R, Tanguay RM. Cyclin B-dependent kinase and caspase-1 activation precedes mitochondrial dysfunction in fumarylacetacetate-induced apoptosis. *FASEB J.* 1999;13(15):2284-98. DOI:10.1096/fasebj.13.15.2284
 22. Shao G, Wang L, Wang X, Fu C. Apaf-1/caspase-4 pyroptosome: A mediator of mitochondrial permeability transition-triggered pyroptosis. *Signal Transduct Target Ther.* 2021;6(1):116. DOI:10.1038/s41392-021-00524-4
 23. Blasche S, Mörtl M, Steuber H, et al. The *E. coli* effector protein NleF is a caspase inhibitor. *PLoS One.* 2013;8(3):e58937. DOI:10.1371/journal.pone.0058937
 24. Wen S, Wang L, Zhang W, et al. Induction of mitochondrial apoptosis pathway mediated through caspase-8 and c-Jun N-terminal kinase by cadmium-activated Fas in rat cortical neurons. *Metalomics.* 2021;13(7):mfab042. DOI:10.1093/mtnmcs/mfab042
 25. Samraj AK, Sohn D, Schulze-Osthoff K, Schmitz I. Loss of caspase-9 reveals its essential role for caspase-2 activation and mitochondrial membrane depolarization. *Mol Biol Cell.* 2007;18(1):84-93. DOI:10.1091/mbc.e06-04-0263
 26. Chen M, Guerrero AD, Huang L, et al. Caspase-9-induced mitochondrial disruption through cleavage of anti-apoptotic BCL-2 family members. *J Biol Chem.* 2007;282(46):33888-95. DOI:10.1074/jbc.M702969200
 27. Reed JC, Zha H, Aime-Sempe C, et al. Structure-function analysis of Bcl-2 family proteins. Regulators of programmed cell death. *Adv Exp Med Biol.* 1996;406:99-112. PMID:8910675
 28. Shintani-Ishida K, Yoshida K. Mitochondrial m-calpain opens the mitochondrial permeability transition pore in ischemia-reperfusion. *Int J Cardiol.* 2015;197:26-32. DOI:10.1016/j.ijcard.2015.06.010
 29. Luo T, Yue R, Hu H, et al. PD150606 protects against ischemia/reperfusion injury by preventing μ -calpain-induced mitochondrial apoptosis. *Arch Biochem Biophys.* 2015;586:1-9. DOI:10.1016/j.abb.2015.06.005
 30. Plevin MJ, Mills MM, Ikura M. The LxxLL motif: A multifunctional binding sequence in transcriptional regulation. *Trends Biochem Sci.* 2005;30(2):66-9. DOI:10.1016/j.tibs.2004.12.001
 31. Gaikwad AB, Viswanad B, Ramarao P. PPAR gamma agonists partially restores hyperglycemia induced aggravation of vascular dysfunction to angiotensin II in thoracic aorta isolated from rats with insulin resistance. *Pharmacol Res.* 2007;55(5):400-7. DOI:10.1016/j.phrs.2007.01.015
 32. Cree MG, Newcomer BR, Herndon DN, Wolfe RR. PPAR-alpha agonism improves whole body and muscle mitochondrial fat oxidation, but does not alter intracellular fat concentrations in burn trauma children in a randomized controlled trial. *Nutr Metab (Lond).* 2007;4:9. DOI:10.1186/1743-7075-4-9
 33. Wu JS, Lin TN, Wu KK. Rosiglitazone and PPAR-gamma overexpression protect mitochondrial membrane potential and prevent apoptosis by upregulating anti-apoptotic Bcl-2 family proteins. *J Cell Physiol.* 2009;220(1):58-71. DOI:10.1002/jcp.21730
 34. Yang SH, Sharrocks AD, Whitmarsh AJ. MAP kinase signalling cascades and transcriptional regulation. *Gene.* 2013;513(1):1-13. DOI:10.1016/j.gene.2012.10.033
 35. Cook SJ, Stuart K, Gilley R, Sale MJ. Control of cell death and mitochondrial fission by ERK1/2 MAP kinase signalling. *FEBS J.* 2017;284(24):4177-95. DOI:10.1111/febs.14122
 36. Nowak G, Clifton GL, Godwin ML, Bakajsova D. Activation of ERK1/2 pathway mediates oxidant-induced decreases in mitochondrial function in renal cells. *Am J Physiol Renal Physiol.* 2006;291(4):F840-55. DOI:10.1152/ajprenal.00219.2005
 37. Lu TH, Hsieh SY, Yen CC, et al. Involvement of oxidative stress-mediated ERK1/2 and p38 activation regulated mitochondria-dependent apoptotic signals in methylmercury-induced neuronal cell injury. *Toxicol Lett.* 2011;204(1):71-80. DOI:10.1016/j.toxlet.2011.04.013
 38. Liu XH, Pan LL, Gong QH, Zhu YZ. Antiapoptotic effect of novel compound from *Herba leonuri* – leonurine (SCM-198): A mechanism through inhibition of mitochondria dysfunction in H9c2 cells. *Curr Pharm Biotechnol.* 2010;11(8):895-905. DOI:10.2174/138920110793262015
 39. Palka G, Geraci L, Calabrese G, et al. A new case of chronic myelogenous leukemia with 14q+ marker and review of the literature. *Ann Genet.* 1988;31(3):190-2. PMID:3066283
 40. Yang JY, Yeh HY, Lin K, Wang PH. Insulin stimulates Akt translocation to mitochondria: implications on dysregulation of mitochondrial oxidative phosphorylation in diabetic myocardium. *J Mol Cell Cardiol.* 2009;46(6):919-26. DOI:10.1016/j.yjmcc.2009.02.015
 41. Kandezi N, Mohammadi M, Ghaffari M, et al. Novel insight to neuroprotective potential of curcumin: A mechanistic review of possible involvement of mitochondrial biogenesis and PI3/Akt/GSK3 or PI3/Akt/CREB/BDNF signaling pathways. *Int J Mol Cell Med.* 2020;9(1):1-32. DOI:10.22088/IJMCM.BUMS.9.1.1
 42. Sage-Schwaede A, Engelstad K, Salazar R, et al. Exploring mTOR inhibition as treatment for mitochondrial disease. *Ann Clin Transl Neurol.* 2019;6(9):1877-81. DOI:10.1002/acn3.50846
 43. McCormack S, Polyak E, Ostrovsky J, Dingley SD. Pharmacologic targeting of sirtuin and PPAR signaling improves longevity and mitochondrial physiology in respiratory chain complex I mutant *Caenorhabditis elegans*. *Mitochondrion.* 2015;22:45-59. DOI:10.1016/j.mito.2015.02.005
 44. Sato M, Sato K, Tomura K, et al. The autophagy receptor ALLO-1 and the IKKE-1 kinase control clearance of paternal mitochondria in *Caenorhabditis elegans*. *Nat Cell Biol.* 2018;20(1):81-91. DOI:10.1038/s41556-017-0008-9
 45. Mukhopadhyay S, Das DN, Panda PK, et al. Autophagy protein Ulk1 promotes mitochondrial apoptosis through reactive oxygen species. *Free Radic Biol Med.* 2015;89:311-21. DOI:10.1016/j.freeradbiomed.2015.07.159

Статья поступила в редакцию / The article received: 24.06.2023

